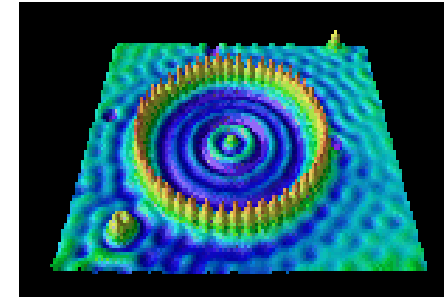


5/Maio/2017 – Aula 18

Aplicações:

- nanotecnologias;
- microscópio por efeito de túnel.

Equação de Schrödinger a 3 dimensões.

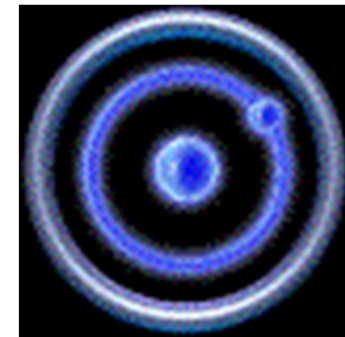


10/Maio/2017 – Aula 19

Átomo de hidrogénio

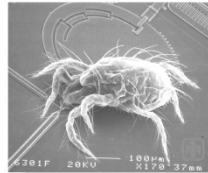
Modelo de Bohr

Modelo quântico. Números quânticos.



The Scale of Things – Nanometers and More

Things Natural



Dust mite
200 μm

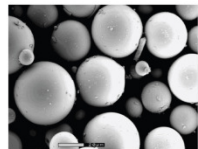


Human hair
~ 60-120 μm wide

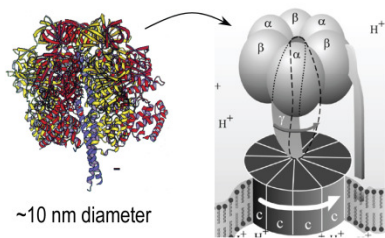
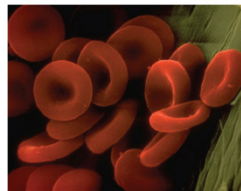
Red blood cells
(~7-8 μm)



Ant
~ 5 mm

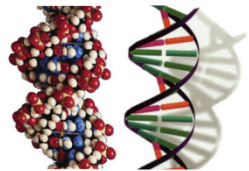


Fly ash
~ 10-20 μm

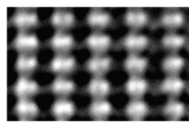


~10 nm diameter

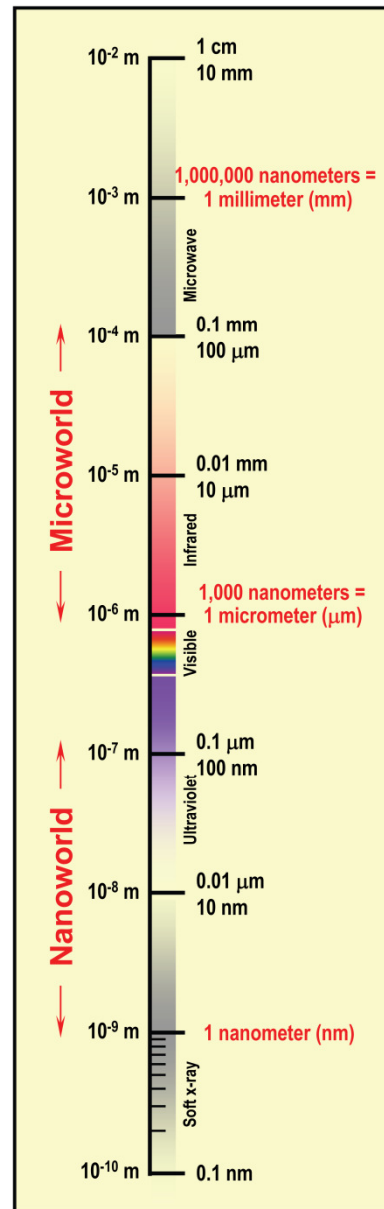
ATP synthase



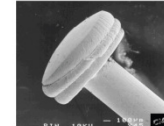
DNA
~2-1/2 nm diameter



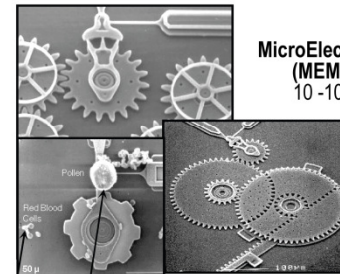
Atoms of silicon
spacing 0.078 nm



Things Manmade



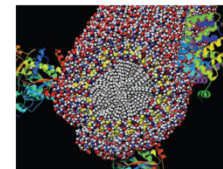
Head of a pin
1-2 mm



MicroElectroMechanical (MEMS) devices
10 -100 μm wide

Pollen grain
Red blood cells

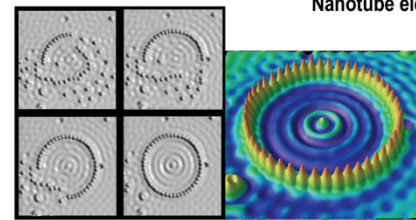
Zone plate x-ray "lens"
Outer ring spacing ~35 nm



Self-assembled,
Nature-inspired structure
Many 10s of nm

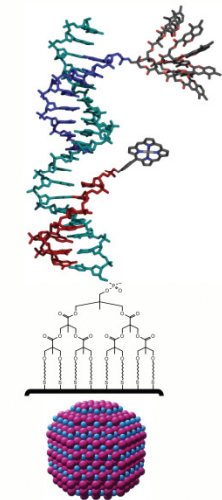


Nanotube electrode

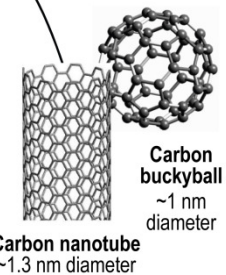


Quantum corral of 48 iron atoms on copper surface
positioned one at a time with an STM tip
Corral diameter 14 nm

The Challenge



Fabricate and combine
nanoscale building
blocks to make useful
devices, e.g., a
photosynthetic reaction
center with integral
semiconductor storage.



Carbon
buckyball
~1 nm
diameter

Carbon nanotube
~1.3 nm diameter

Aplicação: microscópio por efeito de túnel

Uma ponta de prova (“*tip*”)
condutora ($< 1\text{nm}$) é colocada
muito próximo ($\approx 1\text{ nm}$) da
superfície que se pretende analisar.

Quando a ponta de prova está
próxima da nuvem electrónica em
torno dos átomos da superfície, os
electrões vão atravessar a distância
superfície-ponta por **efeito de túnel**,
com uma probabilidade $T = e^{-2\alpha L}$.

Se os **sensores piezoeléctricos**
receberem um sinal (*feedback*) de
forma a manter a corrente
constante na *tip*, então a distância
superfície-ponta também vai ser
constante.

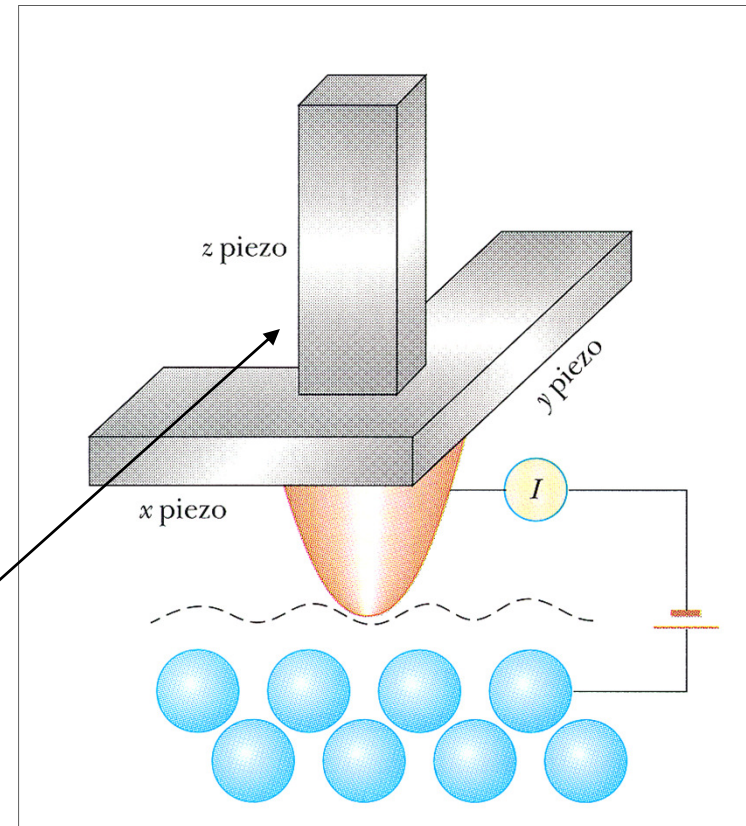
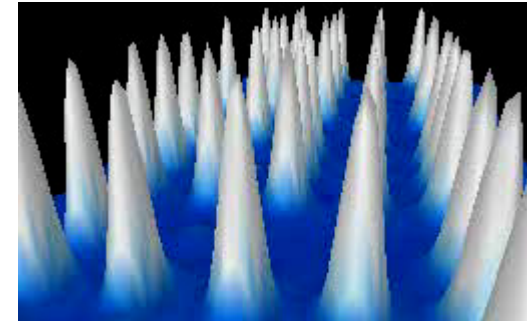
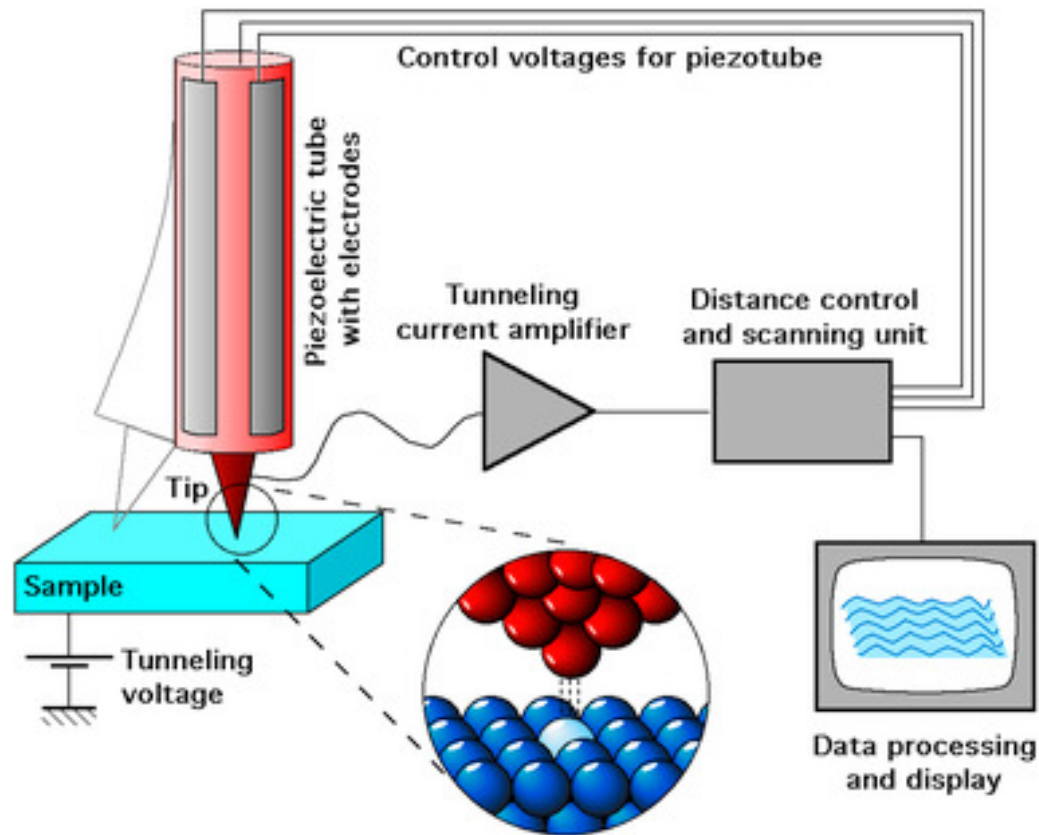


Diagrama de um microscópio
por efeito de túnel

Aplicação: microscópio por efeito de túnel (cont.)

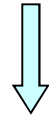


**Imagem
topográfica por
efeito de túnel**

Com um microscópio por **efeito de túnel** é possível medir alturas na superfície da ordem de **$0,001 \cdot 10^{-9} \text{ m}$** , $\approx 1/100$ do **diâmetro atômico** típico.

Equação de Schrödinger a 3 dimensões

$$\frac{d^2 \Psi(x)}{dx^2} = -\frac{2m}{\hbar^2} (E - U) \Psi$$



$$\left(\frac{\partial^2 \Psi}{\partial x^2} + \frac{\partial^2 \Psi}{\partial y^2} + \frac{\partial^2 \Psi}{\partial z^2} \right) = -\frac{2m}{\hbar^2} (E - U) \Psi(x, y, z)$$

$$E_{cin} = \frac{p_x^2 + p_y^2 + p_z^2}{2m} \quad \rightarrow \quad E_{cin} \Psi(x, y, z) = -\frac{\hbar^2}{2m} \left(\frac{\partial^2 \Psi}{\partial x^2} + \frac{\partial^2 \Psi}{\partial y^2} + \frac{\partial^2 \Psi}{\partial z^2} \right)$$

Equação de Schrödinger a 3 dimensões (cont.)

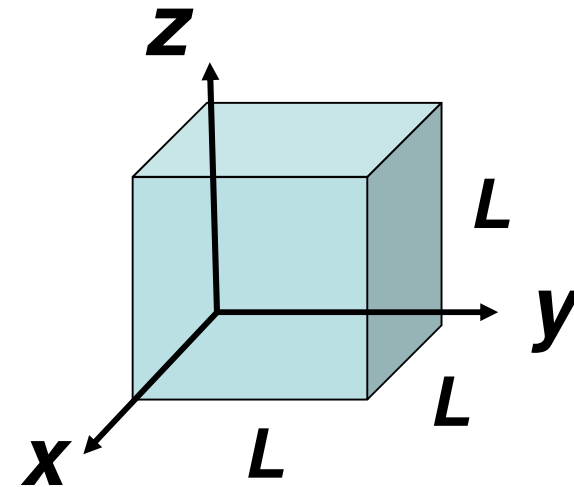
Poço de potencial **3D** com paredes infinitas, em que $U(x,y,z) = 0$ no interior e $U = \infty$ no exterior:

Partícula confinada

Tem-se $\psi(x,y,z) = 0$ nas 6 faces do cubo:

$$x = 0, x = L ; y = 0, y = L ; z = 0, z = L.$$

A **função de onda** espacial pode ser descrita como o produto de funções de (x,y,z) independentes:



$$\psi(x, y, z) = A \operatorname{sen}\left(\frac{n_x \pi x}{L}\right) \operatorname{sen}\left(\frac{n_y \pi y}{L}\right) \operatorname{sen}\left(\frac{n_z \pi z}{L}\right)$$

Equação de Schrödinger a 3 dimensões (cont.)

$$\frac{\hbar^2 \pi^2}{2mL^2} (n_x^2 + n_y^2 + n_z^2) = \frac{h^2}{8mL^2} (n_x^2 + n_y^2 + n_z^2) = E$$

Níveis de energia permitidos:

$$E_{n_1, n_2, n_3} = \frac{\hbar^2 \pi^2}{2mL^2} (n_1^2 + n_2^2 + n_3^2) = E_1 (n_1^2 + n_2^2 + n_3^2)$$

Equação de Schrödinger a 3 dimensões (cont.)

Um nível de energia com mais do que uma função de onda associada chama-se **degenerado**.

Neste caso, para o 1º nível excitado:

$$E_{211} = E_{121} = E_{112} = 6 E_1$$

(grau de degeneração = 3).

Em **a)** os níveis de energia são degenerados; em **b)**, quando a simetria do potencial é retirada, os níveis deixam de ser degenerados .

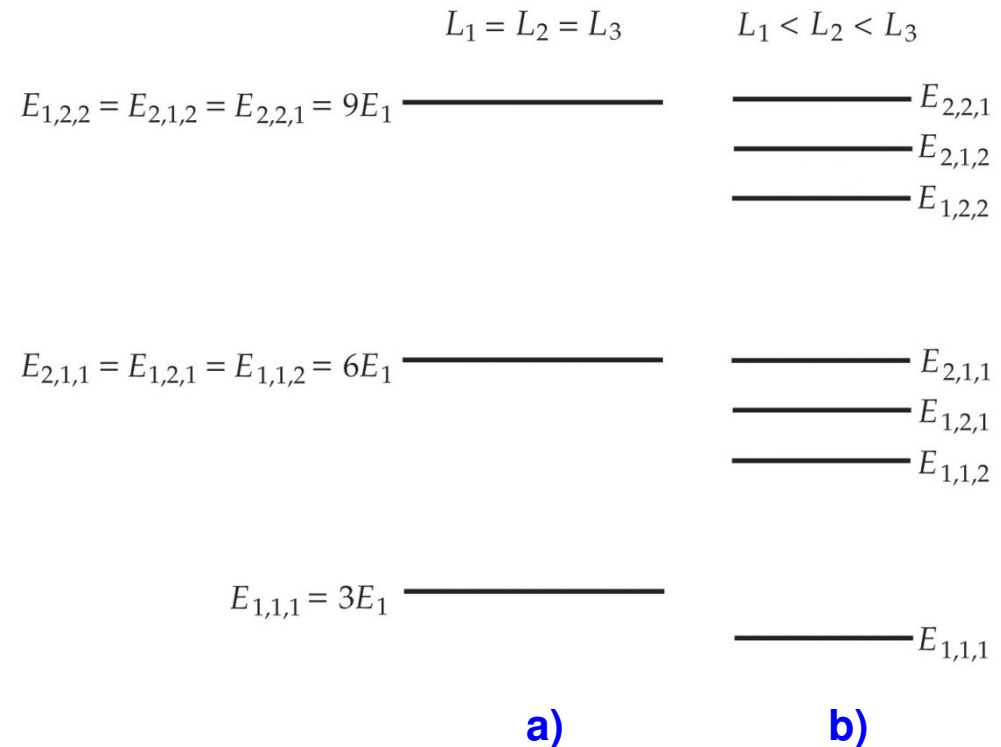


Diagrama de níveis de energia
a) poço cúbico infinito
b) poço infinito não-cúbico

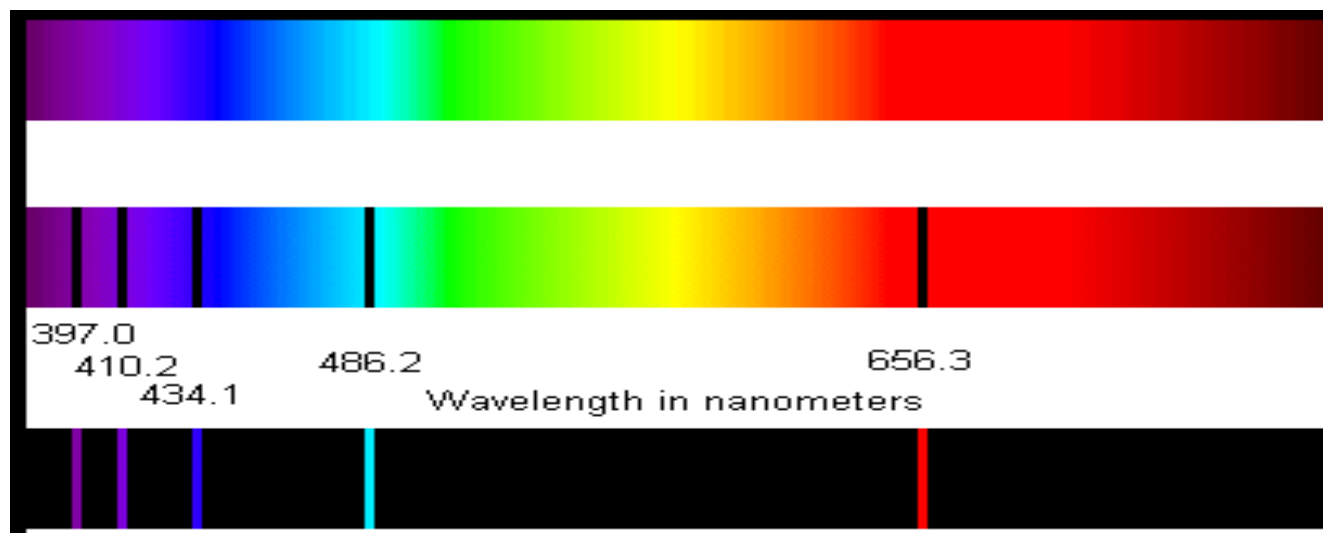
Átomos – modelo de Bohr do hidrogénio

Átomo de hidrogénio

- elemento mais abundante no universo
- produção de energia no Sol ($p + p \rightarrow d + e^+ + \nu + 0,42 \text{ MeV}$)
- teste para as teorias da Física Quântica.

Modelo de Bohr do hidrogénio

Como explicar a existência de riscas espectrais para os elementos?
Por exemplo, as linhas das *séries de Balmer* para o hidrogénio:



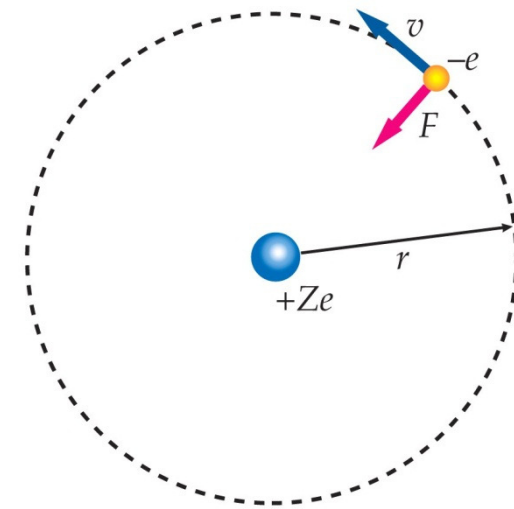
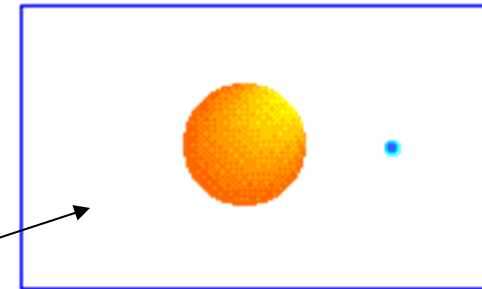
Bohr : os átomos só podem existir em certos estados de energia discretos.

Modelo *planetário* semi-clássico :

- 1) os electrões deslocam-se em certas **órbitas circulares estáveis** em torno do protão, com raio r_n .
- 2) só as órbitas para as quais o comprimento é um **múltiplo inteiro** do comprimento de onda de de Broglie são estáveis :

$$2\pi r_n = n \lambda = n \left(\frac{h}{p} \right)$$

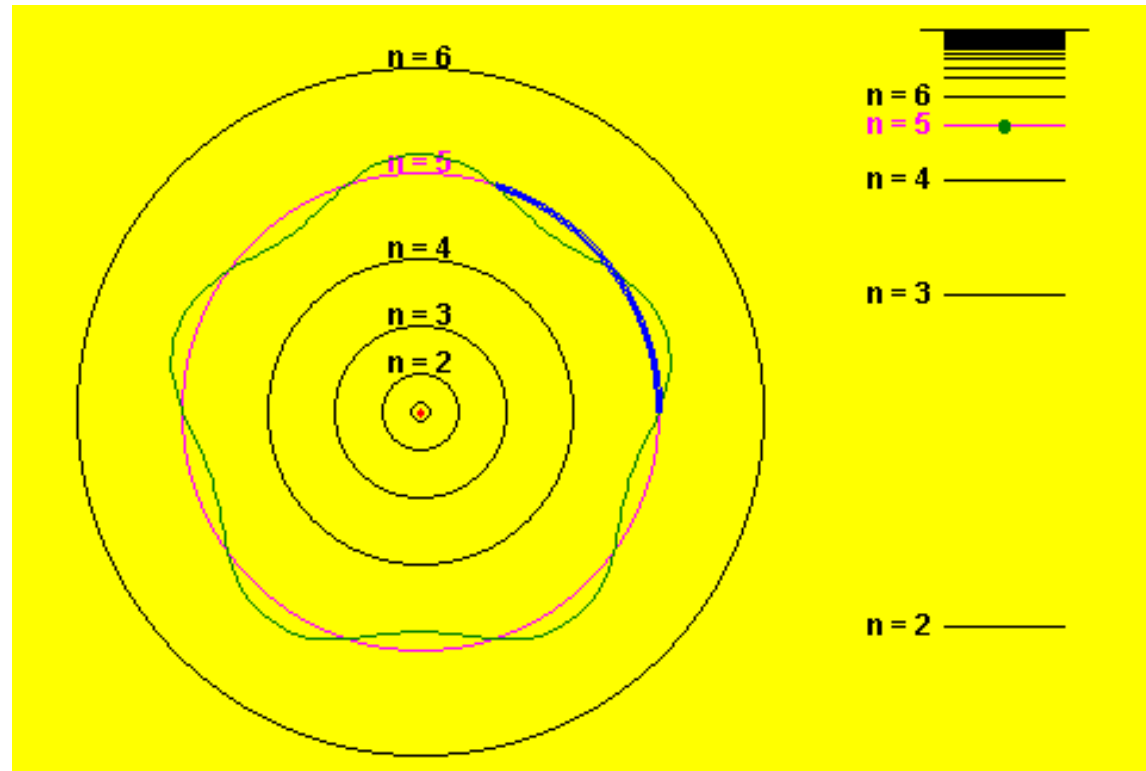
- 3) a força centrípeta é dada pela **lei de Coulomb**:



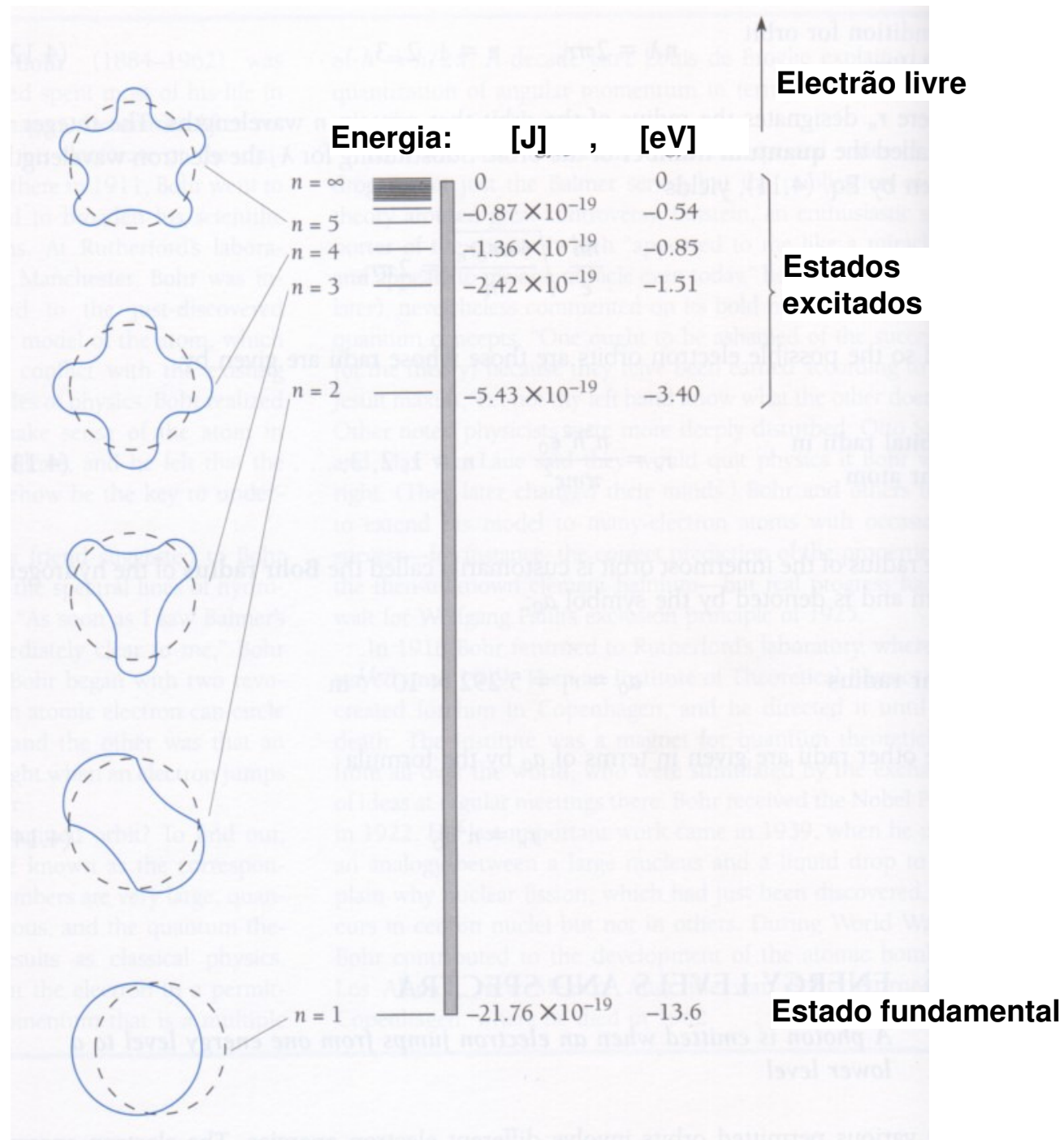
$$F = \frac{kZe^2}{r^2} = \frac{mv^2}{r}$$

$$\frac{mv^2}{r_n} = \frac{e^2}{4\pi\epsilon_o r_n^2}$$

Modelo de Bohr



Comparação : modelo de *onda estacionária* para as órbitas electrónicas $\Rightarrow 2\pi r_n = n \lambda = n (h/p)$



**Energia total
numa órbita
circular :**

$$E_n = \frac{1}{2} m v_n^2 + U(r_n) = \frac{1}{2} m v_n^2 - \frac{e^2}{4\pi\epsilon_0 r_n} = -\frac{e^2}{8\pi\epsilon_0 r_n}$$

de **2)** : $2\pi r_n = \frac{nh}{mv}$

$$\rightarrow v^2 = \left(\frac{n\hbar}{mr_n} \right)^2$$

de **3)** : $\frac{mv^2}{r_n} = \frac{e^2}{4\pi\epsilon_0 r_n^2}$

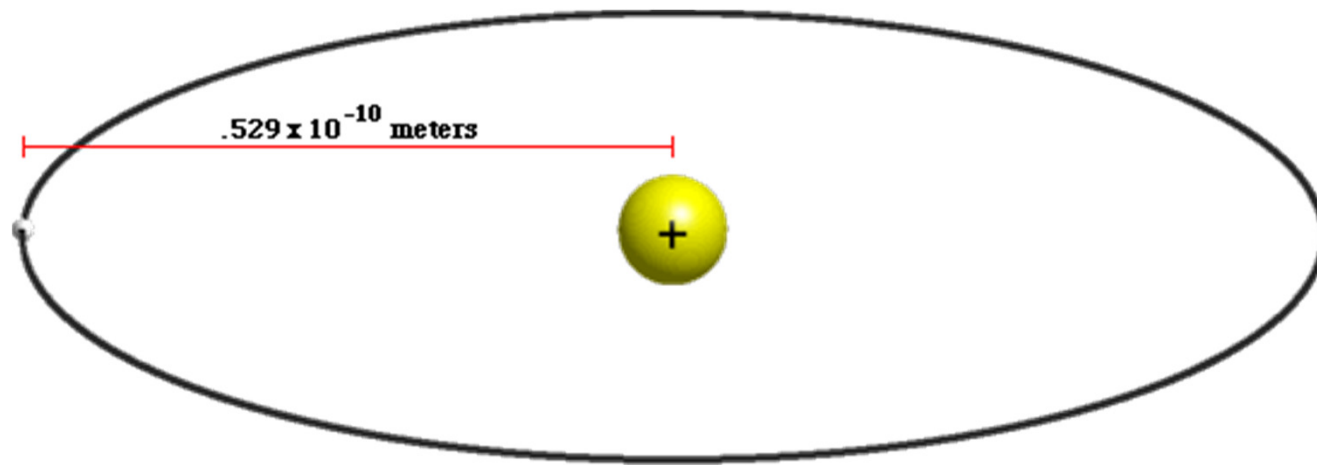
$$\rightarrow v^2 = \frac{e^2}{4\pi\epsilon_0 m r_n}$$

Raio de Bohr :
 $a_0 = 5.29 \times 10^{-11} \text{ m}$

$$r_n = n^2 \left(\frac{\hbar^2 4\pi\epsilon_0}{me^2} \right) = n^2 a_0$$

Energias permitidas:
 $E_n = -13,6 \text{ eV} / n^2$

$$E_n = -\frac{e^2}{8\pi\epsilon_0 n^2 a_0} = -\frac{E_0}{n^2}$$

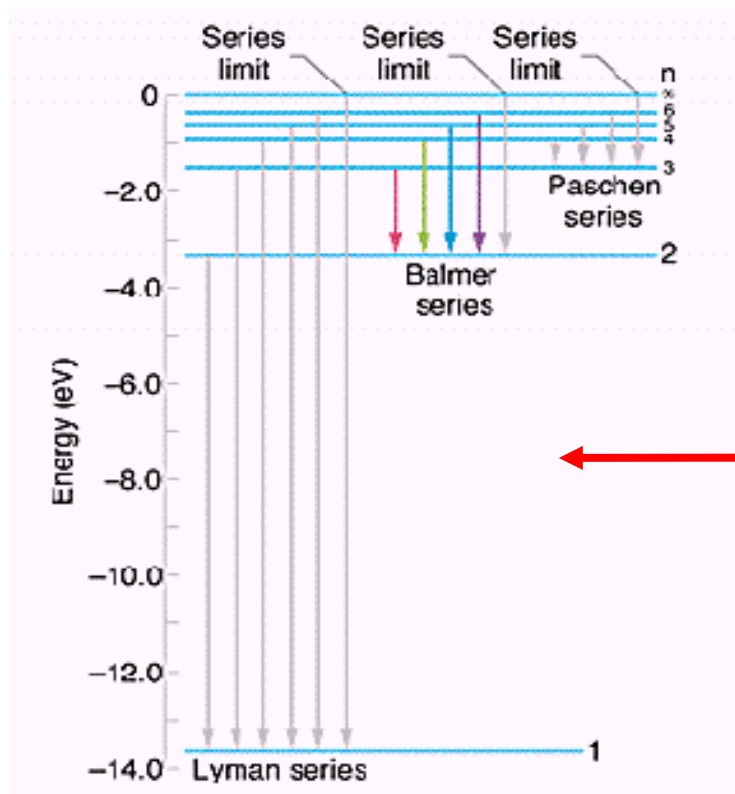


Raio de Bohr :
 $a_o = 5.29 \times 10^{-11} \text{ m}$

$$r_n = n^2 \left(\frac{\hbar^2 4\pi\epsilon_o}{me^2} \right) = n^2 a_o$$

Modelo de Bohr :

1. O espectro de energia é explicado : $E_n = -13,6 \text{ eV} / n^2$.
2. O espectro de riscas é explicado: os fótons são emitidos com $hf = E_{\text{inicial}} - E_{\text{final}} \equiv \Delta E$.
3. O raio de Bohr a_0 está de acordo com o tamanho do átomo de hidrogénio no estado fundamental.

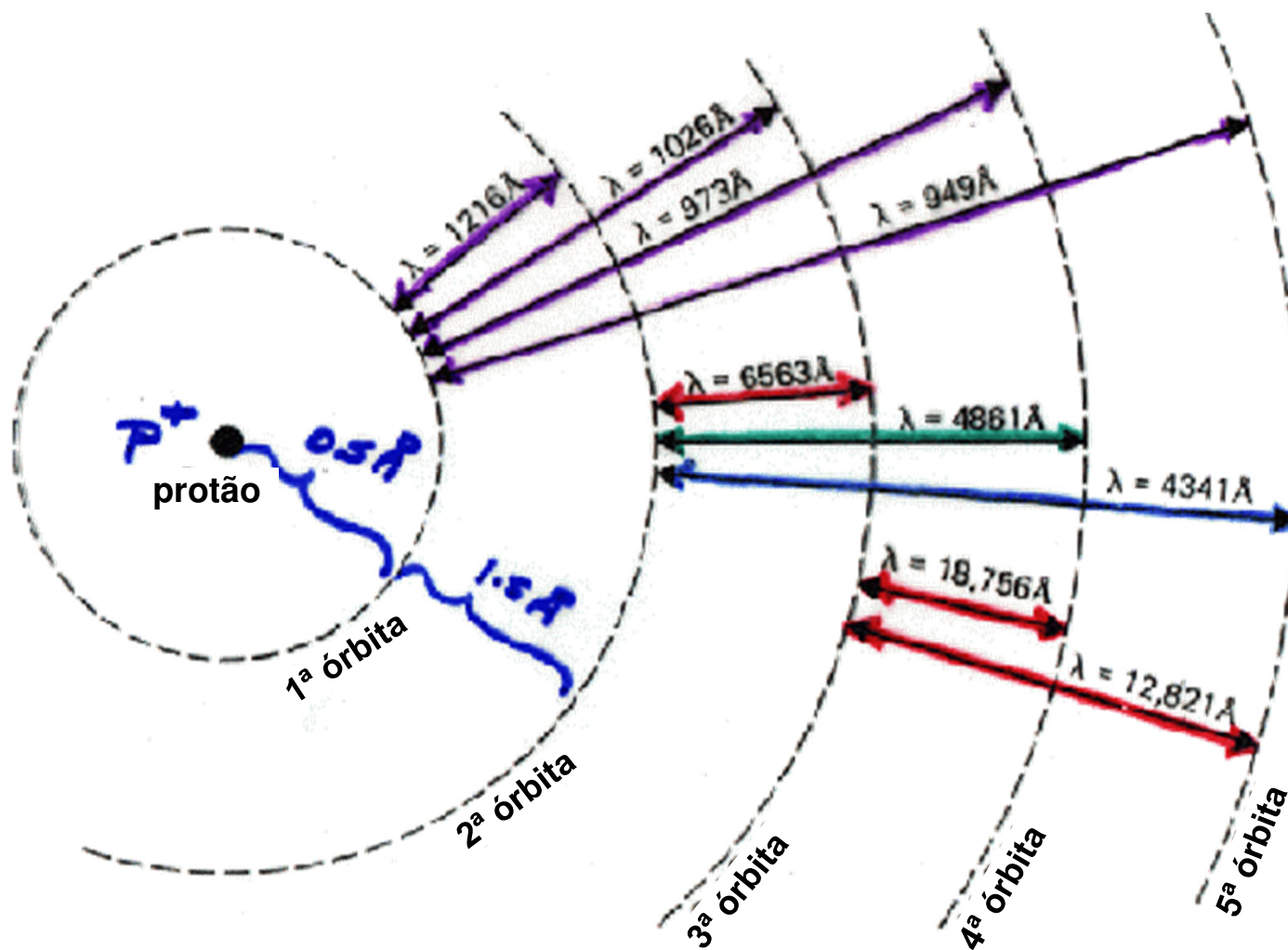


Expressão de Rydberg
para os comprimentos de
onda observados

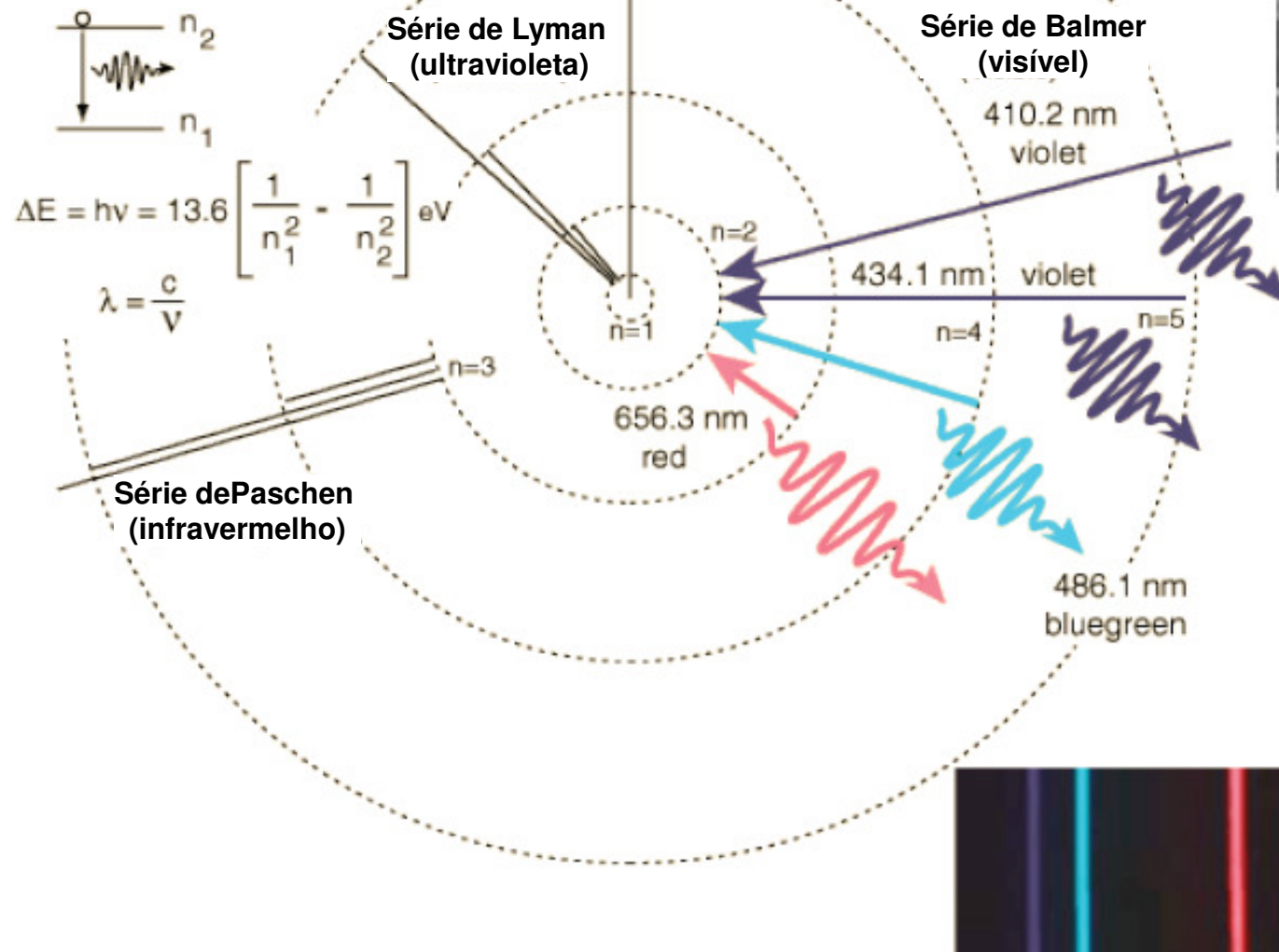
$$\frac{1}{\lambda} = R \left(\frac{1}{n_{\text{final}}^2} - \frac{1}{n_{\text{inicial}}^2} \right)$$

**R = constante de Rydberg
(medida
experimentalmente)**

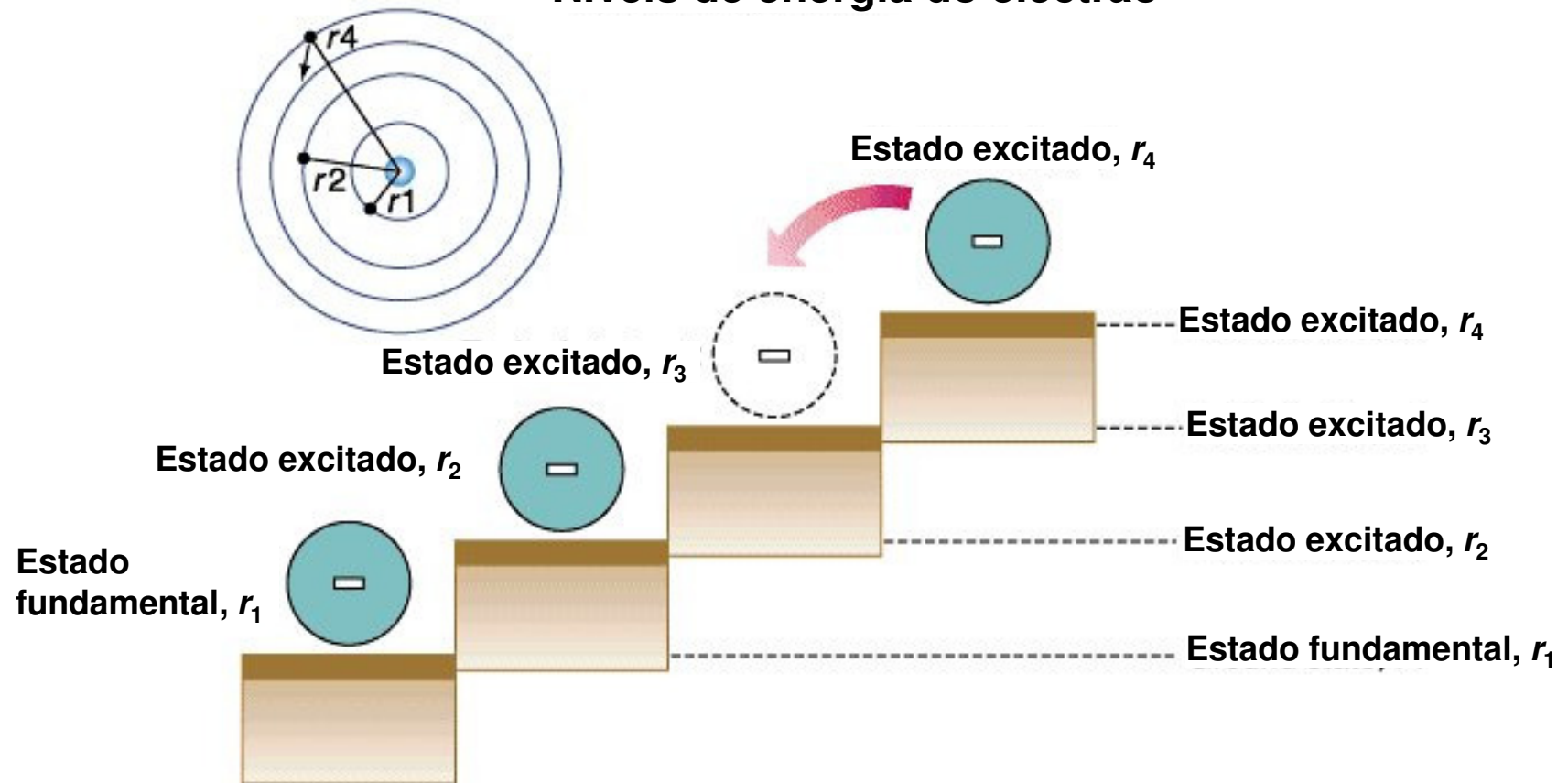
$$\Delta E = \frac{hc}{\lambda} = hcR \Delta \left(\frac{1}{n^2} \right)$$



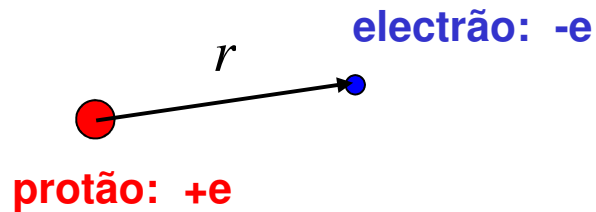
A partir do
modelo de Bohr:



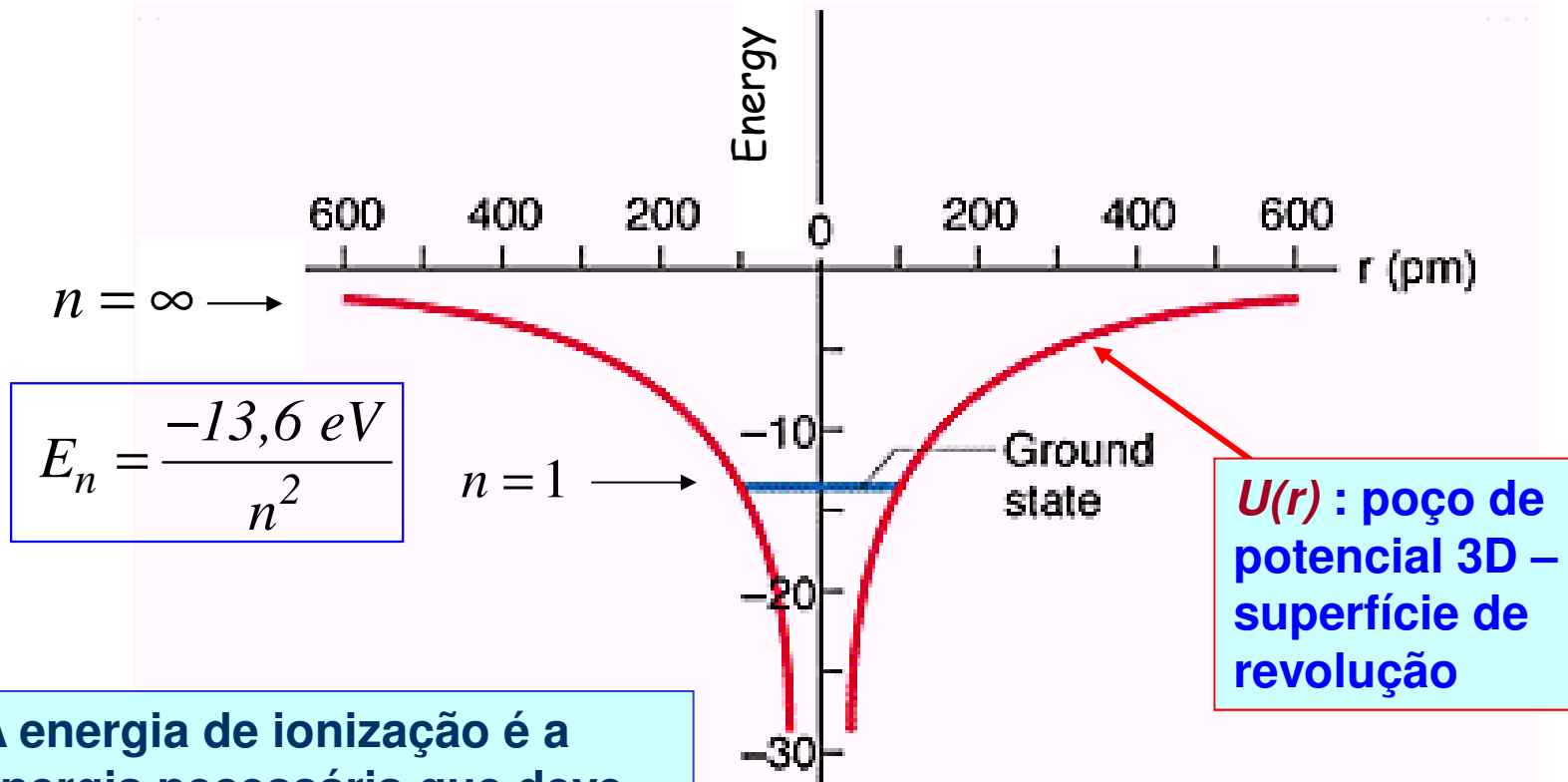
Níveis de energia do electrão



Energia potencial $U(r)$:



$$U(r) = - \frac{e^2}{4\pi\epsilon_0 r}$$



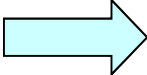
A energia de ionização é a energia necessária que deve ser fornecida para “arrancar” um electrão até $E = 0$.

Os estados ligados têm energia $E < 0$

- a) Determine a energia e o comprimento de onda para o limite da série de Brackett ($n_2 = 4$)
- b) determine os três maiores comprimentos de onda desta série e indique as suas posições numa escala linear

a) A energia dos fotões é dada por $hf = \Delta E = E_i - E_f$

O limite da série é obtido para $n = \infty$ e $E_i = 0$


$$\Delta E = -E_f = -\left(-\frac{E_0}{n_2^2}\right) = \frac{E_0}{n_2^2}$$

A energia do fotão para $n_2 = 4$ é igual a $hf = \frac{13,6 \text{ eV}}{4^2} = \boxed{0,850 \text{ eV}}$


O comprimento de onda da radiação resultante duma transição de energia $\Delta E = hf$ é


$$\lambda = \frac{1240 \text{ eV} \cdot \text{nm}}{\Delta E}$$

λ_{\min} é encontrado para a transição $n = \infty \rightarrow n_2 = 4$:

$$\lambda_{\min} = \frac{1240 \text{ eV} \cdot \text{nm}}{0,850 \text{ eV}} = \boxed{1459 \text{ nm}}$$

b) Os três maiores comprimentos de onda são dados por $n_i = 5, 6 \text{ e } 7$


$$\Delta E = E_i - E_f = -\frac{E_0}{n_i^2} - \left(-\frac{E_0}{n_2^2}\right) = E_0 \left(\frac{1}{n_2^2} - \frac{1}{n_i^2}\right) = E_0 \left(\frac{1}{16} - \frac{1}{n_i^2}\right)$$


$$\begin{aligned} \Delta E_{5 \rightarrow 4} &= (13,6 \text{ eV}) \left(\frac{1}{16} - \frac{1}{25}\right) & \lambda_{5 \rightarrow 4} &= \frac{1240 \text{ eV} \cdot \text{nm}}{0,306 \text{ eV}} = \boxed{4052 \text{ nm}} \\ &= \boxed{0,306 \text{ eV}} \end{aligned}$$

$$\lambda_{6 \rightarrow 4} = \frac{1240 \text{ eV} \cdot \text{nm}}{0,472 \text{ eV}} = \boxed{2627 \text{ nm}}$$

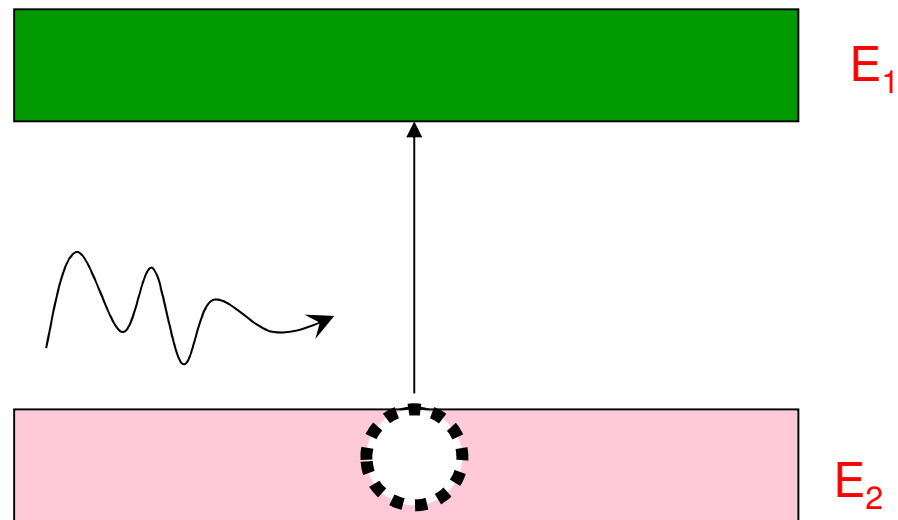
$$\lambda_{7 \rightarrow 4} = \frac{1240 \text{ eV} \cdot \text{nm}}{0,572 \text{ eV}} = \boxed{2168 \text{ nm}}$$



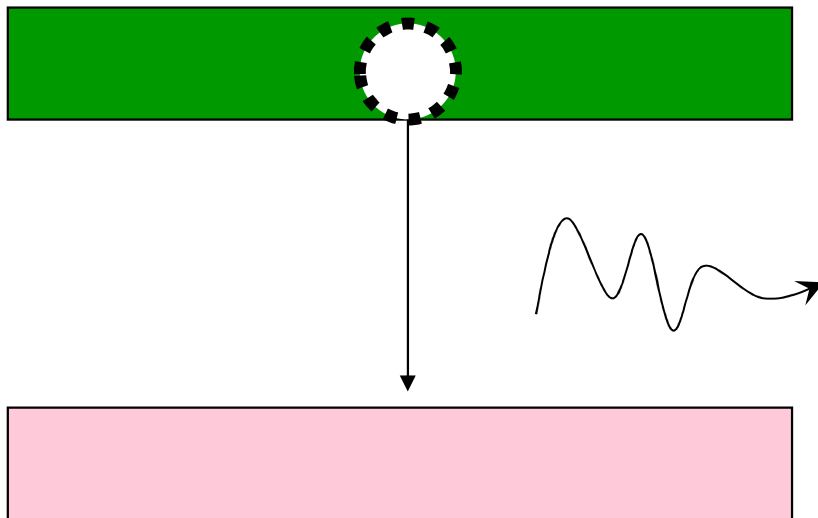
LASER

LASER: **L**ight **A**mplification by **S**timulated **E**mission of **R**adiation

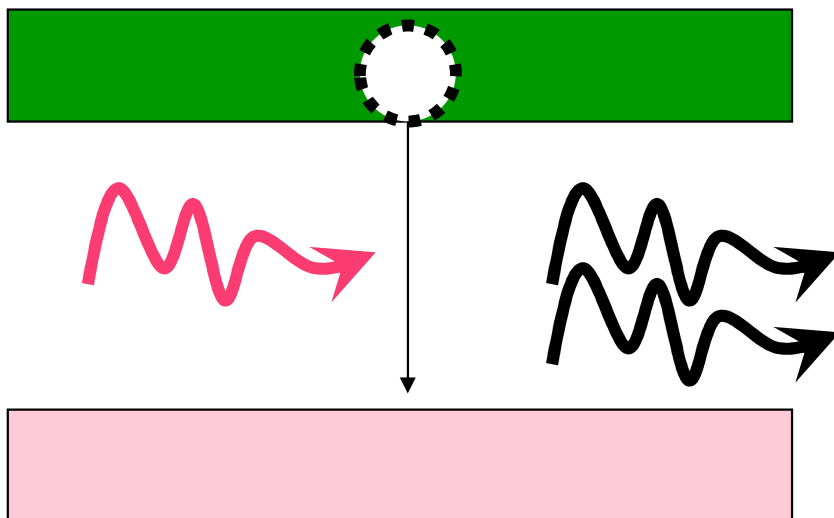
Absorção:

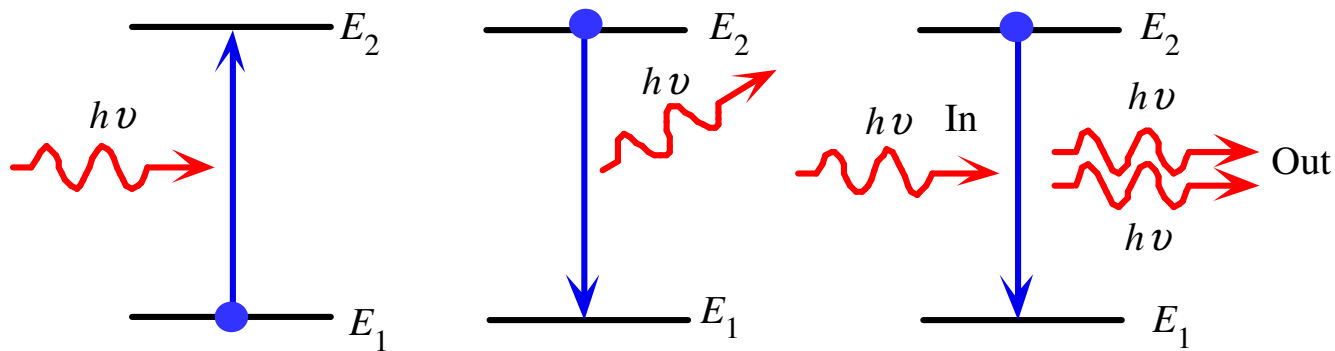


Emissão espontânea:



Emissão estimulada:

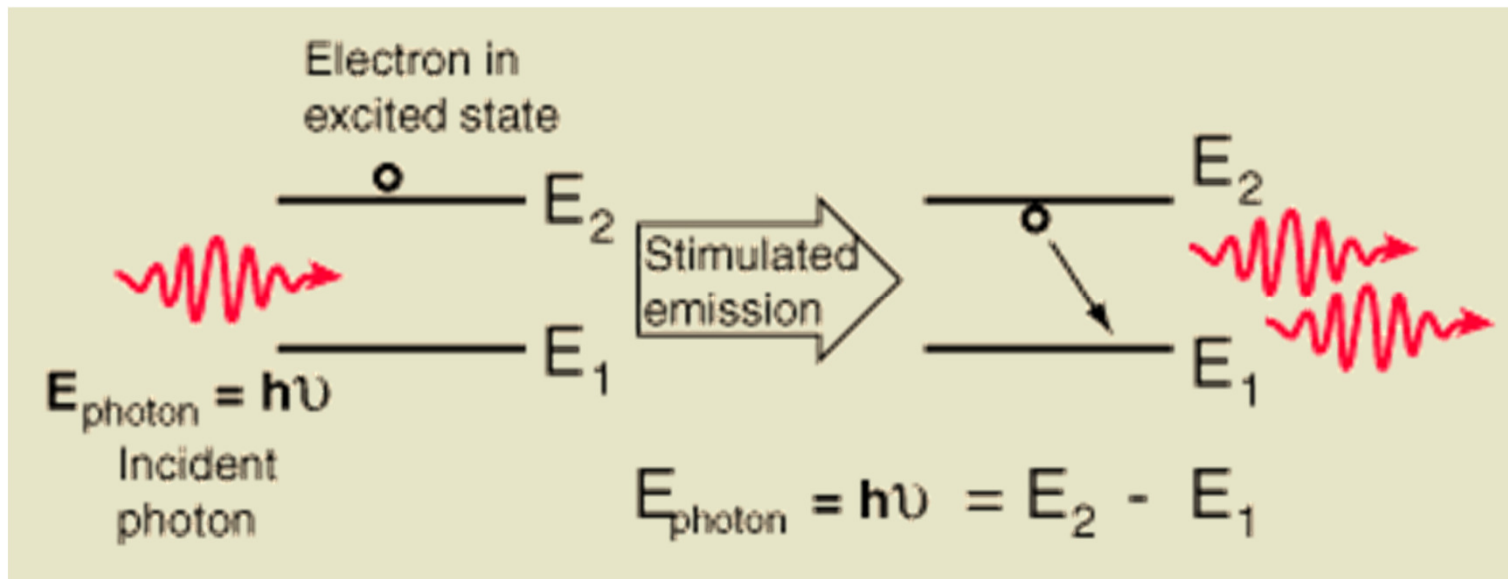


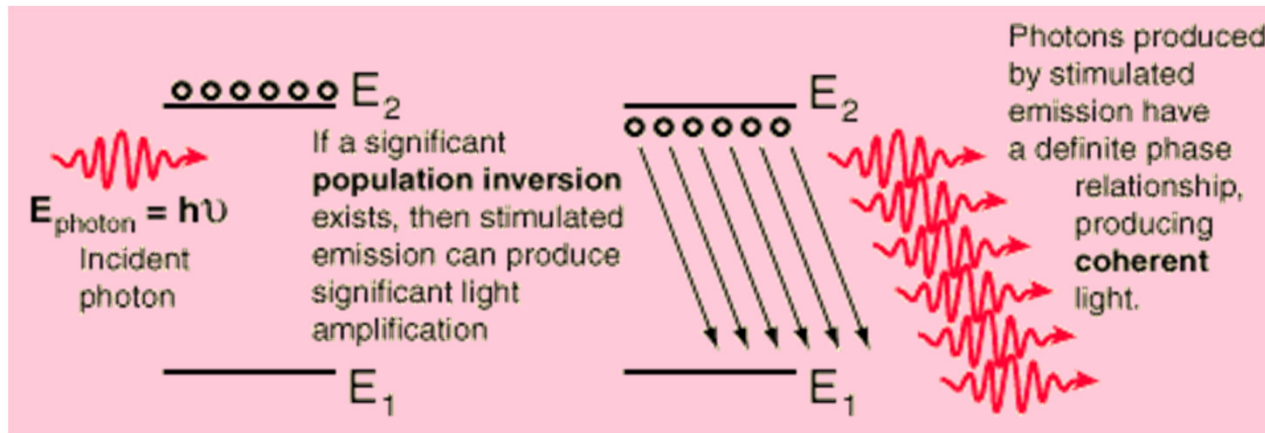


(a) Absorption (b) Spontaneous emission (c) Stimulated emission

Absorption, spontaneous (random photon) emission and stimulated emission.

© 1999 S.O. Kasap, *Optoelectronics* (Prentice Hall)



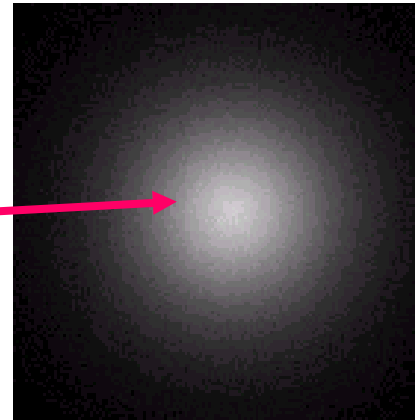


When a sizable population of electrons resides in upper levels, this condition is called a "population inversion", and it sets the stage for stimulated emission of multiple photons. This is the precondition for the light amplification which occurs in a **LASER** and since the emitted photons have a definite time and phase relation to each other, the light has a high degree of coherence.

Modelo quântico do átomo de hidrogénio

O electrão está confinado a um poço de potencial $U(r) = -e^2 / (4\pi\epsilon_0 r)$

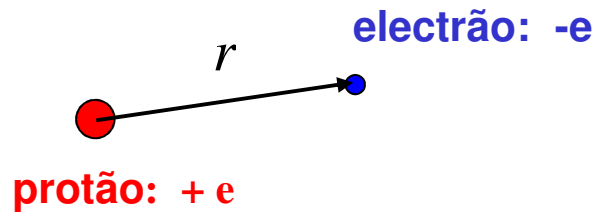
Estado fundamental,
 $n = 1$, com distribuição
de densidade electrónica
dada por $P(r) = |\psi|^2$.



Consideremos agora :

1. A densidade de probabilidade pode ser relacionada com a densidade de carga do átomo:
$$\rho_{\text{carga}}(r) = -e |\psi(r)|^2 \text{ Coulomb/m}^3$$
2. A partícula confinada tem **1 número quântico para cada dimensão espacial** \Rightarrow são necessários **3 números quânticos** para descrever cada estado (no modelo de Bohr só existe 1 número quântico, n).

Esses números quânticos (para além de n) são uma consequência directa da equação de Schrödinger a 3 dimensões:

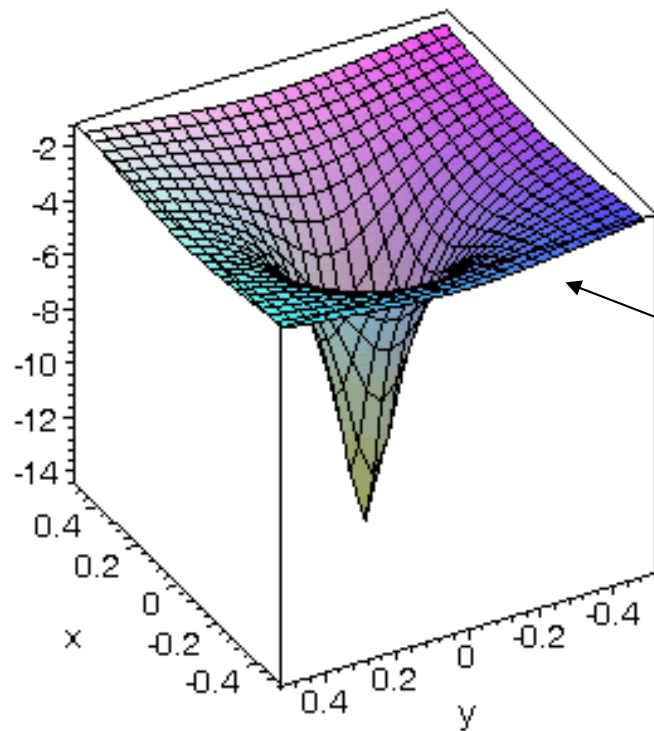


$$U(r) = - \frac{e^2}{4\pi\epsilon_0 r}$$

$$-\frac{\hbar^2}{2m} \left(\frac{\partial^2 \psi}{\partial x^2} + \frac{\partial^2 \psi}{\partial y^2} + \frac{\partial^2 \psi}{\partial z^2} \right) + U(r) \psi = E \psi$$

Equação de Schrödinger a 3 dimensões:

$$-\frac{\hbar^2}{2m}\left(\frac{\partial^2\psi}{\partial x^2} + \frac{\partial^2\psi}{\partial y^2} + \frac{\partial^2\psi}{\partial z^2}\right) + U(x,y,z)\psi = E\psi$$

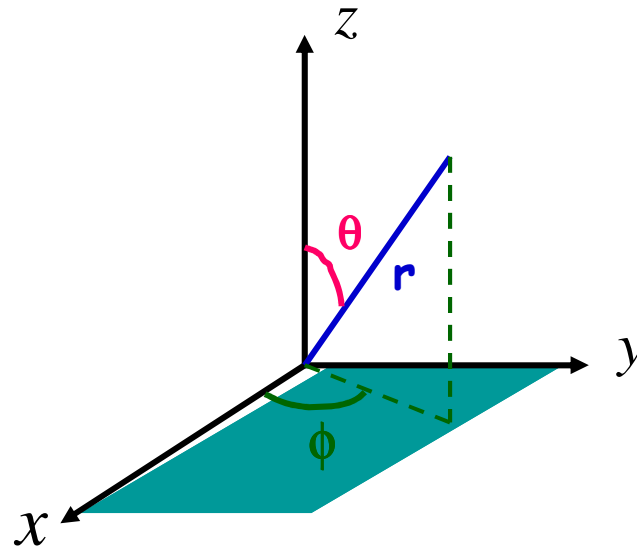


$$U(x,y,z) = -\frac{e^2}{4\pi\epsilon_0\sqrt{x^2 + y^2 + z^2}}$$

Forma do poço de potencial que mantém o electrão confinado.

Em coordenadas esféricas, $U = U(r)$ apenas:

$$r = \sqrt{x^2 + y^2 + z^2}$$
$$\theta = \arccos(z/r)$$
$$\phi = \arctg(y/x)$$

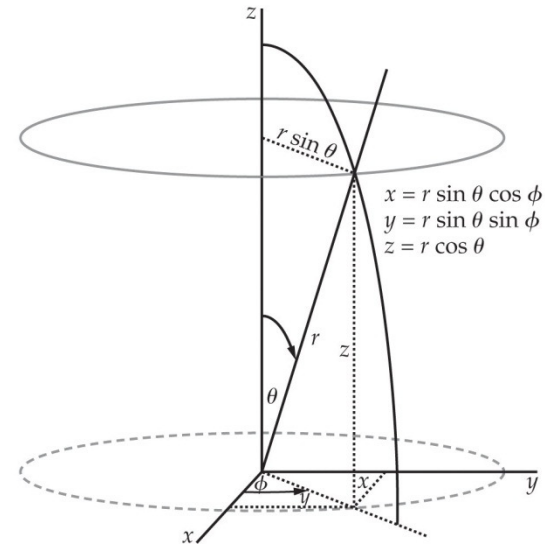


$$0 \leq \theta \leq \pi$$
$$0 \leq \phi \leq 2\pi$$

Vai existir um número quântico associado a cada coordenada: r , θ e ϕ

Resolução da equação de Schrödinger:

A função de potencial tem **simetria esférica** \Rightarrow é mais fácil resolver este problema em **coordenadas esféricas** (r, θ, ϕ) , com $U = U(r)$.



Solução para o estado fundamental do hidrogénio: $(n = 1, E = -13,6 \text{ eV})$

$$\psi_1(r, \theta, \phi) = \frac{1}{\sqrt{\pi} a_o^3} e^{-r/a_o}$$

$a_o = \text{raio de Bohr}$

Condição de normalização :

$$\int_{\text{todo o espaço}} P(r, \theta, \phi) dV = 1 \quad \Rightarrow \quad \int |\psi_1|^2 dV = 1$$

$dV = \text{elemento de volume}$

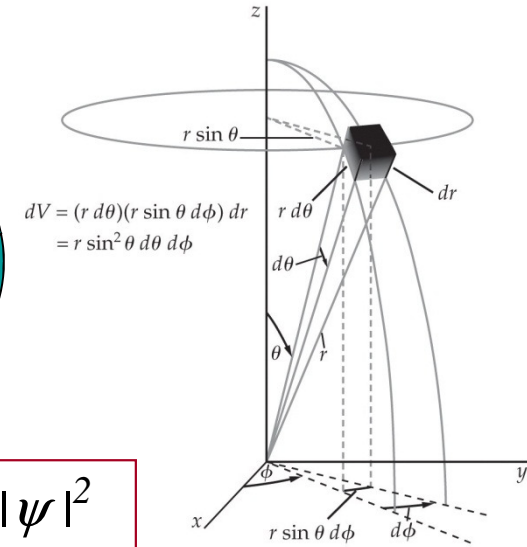
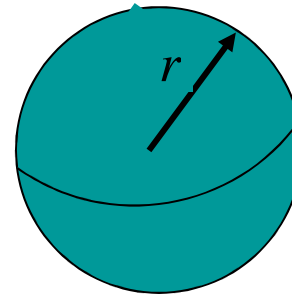
Elemento de volume com simetria esférica :

- superfície de uma esfera: $4 \pi r^2$
- volume dV de uma coroa esférica com espessura dr

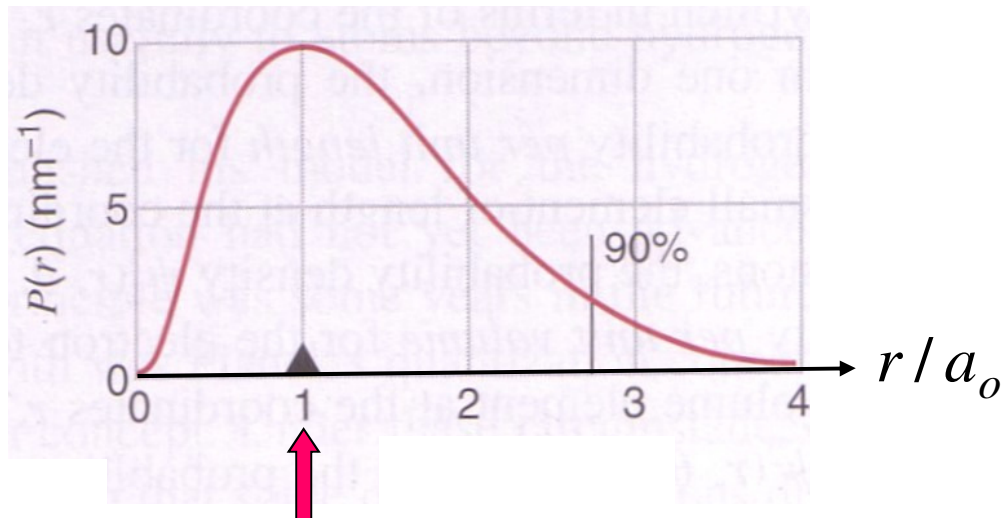
$$dV = 4\pi r^2 dr$$

Densidade de probabilidade radial:

$$P(r) = 4\pi r^2 |\psi|^2$$



Para o estado com $n = 1$



A probabilidade de encontrar o electrão em r dentro da coroa esférica de espessura dr é igual a

$$P(r)dr$$

Localização mais provável do electrão $\Leftrightarrow r = a_0$ (raio de Bohr).

Em resumo: - dois modelos para o átomo de hidrogénio

1. Modelo de Bohr, de *órbitas planetárias* com

$$2\pi r_n = n \lambda, \quad r_n = n a_o,$$

- consegue prever os *níveis de energia* correctamente $E_n = -13,6 \text{ eV} / n^2$.

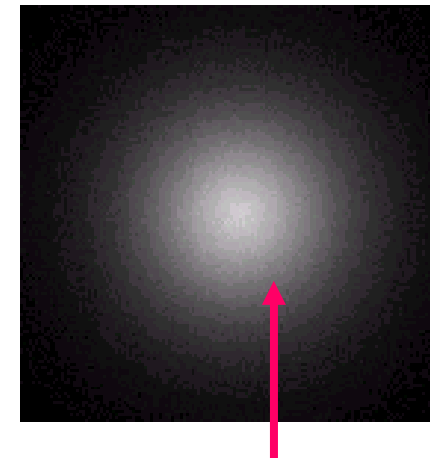
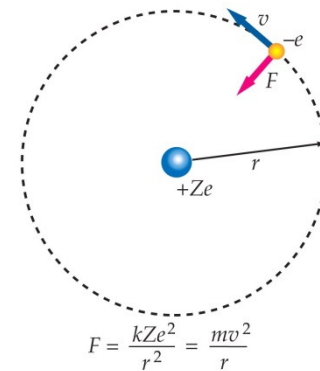
2. Modelo quântico, em que o electrão está confinado a um poço de potencial da forma

$$U(r) = -e^2 / (4\pi\epsilon_o r)$$

- consegue obter os níveis de energia correctamente

$$E_n = -13,6 \text{ eV} / n^2$$

- consegue obter a maior probabilidade de encontrar o electrão para $r = a_o$ a partir da densidade de probabilidade radial da função de onda.



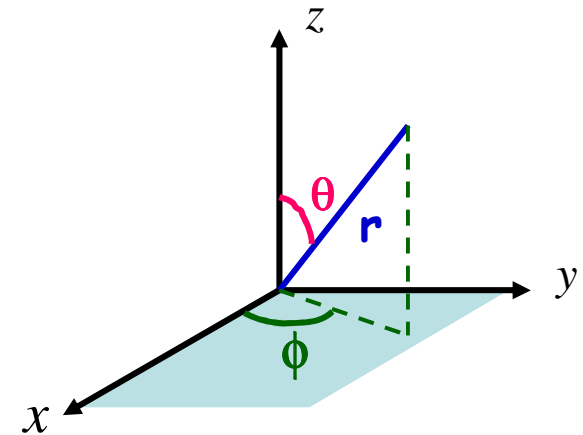
No modelo quântico, o átomo é representado por uma *nuvem* definida pela densidade de probabilidade electrónica.

Números quânticos do átomo de hidrogénio

Números quânticos para o hidrogénio e coordenadas associadas:

1. Coordenada radial r
número quântico principal $n = 1, 2, 3 \dots$ ($\Leftrightarrow n$ do modelo de Bohr)
2. Ângulo polar θ
número quântico do momento angular $l = 0, 1, 2 \dots (n-1)$
3. Ângulo azimutal ϕ
número quântico magnético $m_l \equiv m = -l, -l+1, 0, 1 \dots l$ ($2l+1$ valores)

O conjunto dos números quânticos (n, l, m) tem origem nas condições de confinamento da função de onda (que seja solução da equação de Schrödinger) a **3 dimensões** : todos os 3 números são necessários para especificar essa função de onda.



Número quântico principal (n)

No entanto, a energia total E só depende do número **quântico principal** (n):

$$E_n = -\frac{13,6}{n^2} \text{ eV}$$

As funções de onda são indicadas pelo conjunto dos 3 números quânticos (n, l, m), que só podem tomar certos valores:

$$\psi_{n,l,m}(r, \theta, \phi)$$

Os estados são indicados de acordo com o valor de l

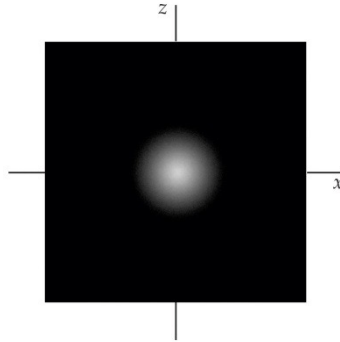
$$l = 0 \equiv \mathbf{s} ; l = 1 \equiv \mathbf{p} ; l = 2 \equiv \mathbf{d} ; l = 3 \equiv \mathbf{f} ; \dots$$

Energia	n	l	m	estado	nº de estados
- 13,6 eV	1	0	0	1s	1
- 3,4 eV	2	0	0	2s	1
- 3,4 eV	2	1	1,0,-1	2p	3
-1,5 eV	3	0	0	3s	1
-1,5 eV	3	1	1,0,-1	3p	3
-1.5 eV	3	2	2,1,0,-1,-2	3d	5
...

Por exemplo, o **estado fundamental**, de simetria esférica, é indicado por:

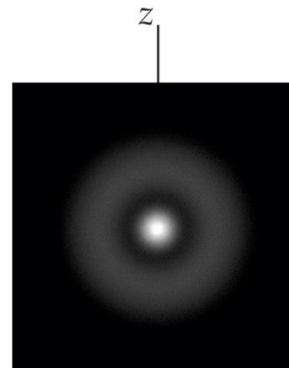
$$\psi_{100}(r, \theta, \phi) = \frac{1}{\sqrt{\pi} a_o^3} e^{-r/a_o}$$

Estado fundamental, de simetria esférica



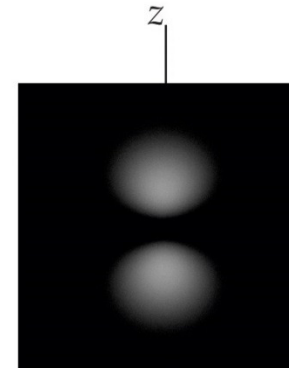
$$\psi_{100}(r, \theta, \phi) = \frac{1}{\sqrt{\pi a_o^3}} e^{-r/a_o}$$

Estados excitados, com $E = -3,4 \text{ eV}$, $n = 2$



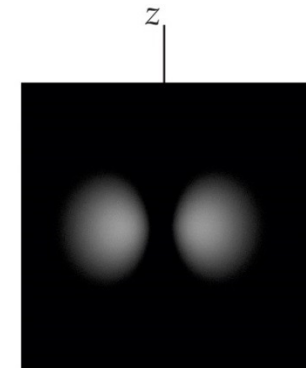
$$\begin{aligned} n &= 2 \\ \ell &= 0 \\ m_\ell &= 0 \end{aligned}$$

$$2, 0, 0$$



$$\begin{aligned} n &= 2 \\ \ell &= 1 \\ m_\ell &= 0 \end{aligned}$$

$$2, 1, 0$$



$$\begin{aligned} n &= 2 \\ \ell &= 1 \\ m_\ell &= \pm 1 \end{aligned}$$

$$2, 1, \pm 1$$

$$\psi_{2,0,0} = A \left(2 - \frac{r}{a_o} \right) e^{-r/2a_o} \quad \psi_{2,1,0} = B \left(\frac{r}{a_o} \right) e^{-r/2a_o} \cos \theta \quad \psi_{2,1,\pm 1} = C \left(\frac{r}{a_o} \right) e^{-r/2a_o} \sin \theta e^{\pm i\phi}$$

Densidades de probabilidade radiais:

